

# 図解法による背水曲線計算

宮崎大学 吉高益男

## 1) はじめに

背水曲線計算のためには基本式を積分する方法と試算によるものとある。前者は基本式を積分可能か又級数に展開しようとするために特定の断面に対してのみ行はる Bresse 式等古くから発表され、物部式にいたつて埠状断面の場合が解かれ一概的になつたが、その使用は面倒である。

後者では計算を簡単にならうとする試みが行はる Leach (New Methods for the Solution of Backwater Problems; Eng. News-Rec. Apr. 17, 1912) が一般断面に対して  $V^2/2g$  を無視して系統的に試み、これを見展させて種々なる損失を考慮して自然河川の背水曲線を半図解的に解く試みを Ezra がなした。(A Direct step method for Computing water-surface profiles; March 1953 Proc. of ASCE)

筆者はこれを著者断面に適用して背水曲線をノミグラフとも利用して全図解的に解き、あわせて  $Q$  の変化に対しても利用しようとした方法を提案する。これによると原点の水位の変化に対する水面曲線も又その時  $Q$  が異なる場合も一つの図を書いておけば簡単にわかる。

## 2). 図解法 図-1 に於て 1, 2 断面

間に Bernoulli の定理を適用すると、

$$iL + H_1 + \frac{V_1^2}{2g} = H_2 + \frac{V_2^2}{2g} + h_f \quad \dots \dots (1)$$

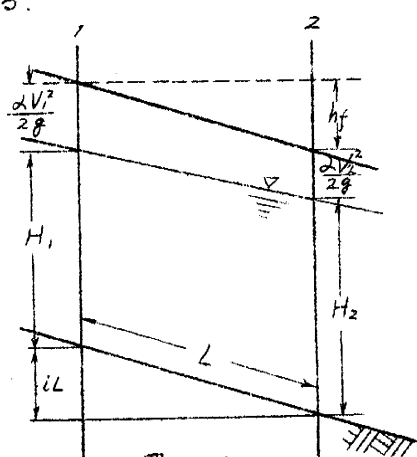
ここで  $h_f$  は摩擦損失のみを考慮 (2) のよう

にとする。

$$h_f = \frac{1}{2} (I_1 + I_2) \quad \dots \dots (2)$$

$$\therefore iL + H_1 + \frac{V_1^2}{2g} - \frac{1}{2} I_1 = H_2 + \frac{V_2^2}{2g} + \frac{1}{2} I_2$$

(22)



Iに Manning式を適用すると、

$$iL + H_1 + \frac{\alpha Q^2}{2g A_1^2} - \frac{L}{2} \frac{Q^2 n^2}{A_1^2 R_1^{1/3}} \\ = H_2 + \frac{\alpha Q^2}{2g A_2^2} + \frac{L}{2} \frac{Q^2 n^2}{A_2^2 R_2^{1/3}} \quad \dots \dots \dots (3)$$

(3)を  $Q^2$ で割ると

$$\frac{iL}{Q^2} + \frac{H_1}{Q^2} + \frac{\alpha}{2g A_1^2} - \frac{L}{2} \frac{n^2}{A_1^2 R_1^{1/3}} = \frac{H_2}{Q^2} + \frac{\alpha}{2g A_2^2} + \frac{L}{2} \frac{n^2}{A_2^2 R_2^{1/3}} \quad \dots \dots \dots (4)$$

$$\frac{\alpha}{2g A^2} = \phi(H) \quad \frac{L n^2}{2A^2 R^{1/3}} = \psi(H) \quad \dots \dots \dots (5)$$

$$iL/Q^2 + H_1/Q^2 + \phi - \psi_1 = H_2/Q^2 + \phi - \psi_2 \quad \dots \dots \dots (6)$$

この  $\phi, \psi$  は一般に非常に小さくなつて取扱いににくいから (6) に  $10^6$  をかけて、

$$\frac{iL}{Q^2} 10^6 + \frac{H_1}{Q^2} 10^6 + \Phi_1 - \Psi_1 = \frac{H_2}{Q^2} 10^6 + \Phi_2 - \Psi_2 \quad \dots \dots \dots (7)$$

$$\text{ここに } \Phi = \phi 10^6 \quad \Psi = \psi 10^6 \quad \dots \dots \dots (8)$$

$(\Phi + \Psi)$  及び  $(\frac{iL}{Q^2} 10^6 + \Phi - \Psi)$  を断面形の  $H$  の各値に対して計算し、

図-2 の如くプロットする。

$(\frac{iL}{Q^2} 10^6 + \Phi - \Psi)$  は  $Q$  の変

化によつて左右に平行移動す

るだけで種々なる  $Q$  に対して

簡単に画け又  $H/Q^2 10^6 = H$  も種

々なる  $Q$  に対して画いておく。

$H_1$  における  $(\Phi + \Psi)$  より  $Q$ ,

に対する  $H/Q^2 10^6 = H$  に平行線

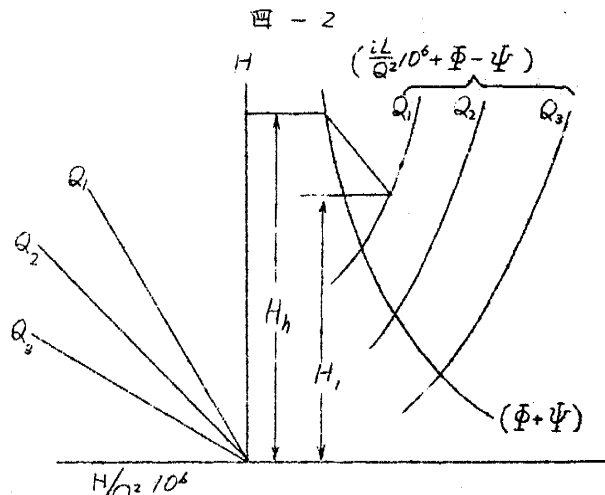
をひき  $Q_1$  に対応する  $(\frac{iL}{Q^2} 10^6 +$

$\Phi - \Psi$ ) との交点を求めれば  $L$  上流の水深  $H_1$  を求めうる。 $Q_1$  が  $Q_2$  に變水は

$H/Q^2 10^6 = H$  群と  $(\frac{iL}{Q^2} 10^6 + \Phi - \Psi)$  群とで  $Q_2$  に対応する線をえらんで用ひればよい、尚  $(\Phi + \Psi)$  と  $(\frac{iL}{Q^2} 10^6 + \Phi - \Psi)$  との交点の水深は草流水深となる。

それより下の曲線は低下背水を求めるためのものである。

3). (2)式の検討  $h_f$  の精确な値は  $\int I dL$  であり、(2)式の  $h_f$  の値は上の値  
(43)



が大となるにつれ  $\int_0^L I dL$  に対して大なる誤差をもち  $I_m L$  とおく方が  $\int_0^L I dL$  に近い値となる。よって  $I_m L$  を用いる方法が多くつかはるが試算が面倒である。今  $I_m$  Manning 式を適用した場合の誤差関係を考へると。

$$\Delta I/I = 2(\Delta h/h + \Delta V/V) - \frac{1}{3} \Delta R/R \quad \text{となり。}$$

この選択の誤差を 5% とすれば  $I$  の誤差はすでに 10% となりこれを精密に選ばなければ  $I_m L$  も大なる誤差をもつと考へうる。よって  $I < 1/500$  の範囲で考へれば(2)の假定も精度が高いと考へうる。

よって図解法では範囲を  $I < 1/500$  におく、それで低下背水を求める場合には低下水深が限界水深よりも相当大きなときのみに利用しよう。

4). 結び、この図解法に於ける曲線群は形がきまつているから水深を 0.5m おきぐらいに値とすればよいから画くのに面倒でない、又これらを書いてみると革流水深も曲線の交点によつておのづと求められるなど断面の性質もよく理解しうるなどの利点をもつてゐるが断面が不等齊である場合には簡単に用いえない欠点をもつてゐる。

## 伊ノ浦橋(西海橋)のアーチ主構の閉合方式に就て 建設省伊ノ浦橋工事事務所 ○村上永一、吉田 延

### § 1. 基本計画。

#### (1). 封合作業の意義

- 架設応力を固定アーチとしての応力分布に変換する。
- 弹性重心に作用する水平力 68.20 トン及モーメント 174.579 ドムに相当する圧力をかけてアーチ部材に所要の予应力を添加し応力分布を均等化する。

#### (2). 架設応力の変化及予应力の添加について。

#### (3). 本橋に於て採用せる封合方式